

中国科学院  
水利电力部 水利水电科学研究院

# 科学的研究论文集

第 10 集

(灌溉、排水)

水利电力出版社

## 内 容 提 要

本书为水利水电科学研究院水利研究所近年来科研论文选集。内容包括：截渗沟、田间排水和地下排水技术的试验研究；渠系分水闸型式；喷灌、滴灌和渗灌技术；排水沟防塌措施；辐射井出水量计算；渠井结合灌溉；地下水评价和开发利用；水质分析和灌溉供水经济分析等科学研究成果。

本书可供从事灌溉、排水和水资源工作的科技和教学人员参考。

中国科学院  
水利水电科学研究院  
水利电力部  
科学论文集

水利电力出版社出版  
(北京德胜门外广福炕)  
新华书店北京发行所发行·各地新华书店经售  
水利电力印刷厂印刷  
\*  
787×1092毫米 16开本 16印张 360千字  
1982年12月第一版 1982年12月北京第一次印刷  
印数0001—2850册 定价1.70元  
书号 15143·5023

## 目 录

渠道和水库附近双沟截渗排水电拟试验与计算分析	瞿兴业 ( 1 )
考虑地下水不同蒸发与埋深关系指数的田间排水沟间距计算	张友义 ( 31 )
关于我国北方涝碱地区发展暗管排水的探讨	赖民基、张友义 ( 49 )
南方五省市地下排水防治农田渍害的调查研究	瞿兴业、张友义、朱正文、陈庆平 ( 61 )
合成纤维滤料包缠波纹塑料管的透水防沙性能试验	石凤霞 ( 74 )
内蒙古后套灌区排水沟塌坡原因及其防治措施	魏永纯、邢东志、范定邦、王辰启 ( 82 )
灌溉渠系分水闸结构型式试验研究	金永堂、李明湖等 ( 104 )
节约能源的两种方形喷嘴	刘玉华、徐达、赵竞成 ( 124 )
喷射末端水滴运动的稳定性条件及其平均直径的估算	赵竞成、刘玉华 ( 134 )
滴灌设备的研制	邱为铎 ( 144 )
滴灌自动控制仪的研制	王钢生 ( 157 )
渗灌技术及其应用的研究	巫一清、侯彝祥、武文凤 ( 166 )
黄土地带辐射井出水量计算方法探讨	瞿兴业 ( 178 )
人民胜利渠灌区渠井结合灌溉分析研究	袁光耀、单炳忠、蔡林根 ( 188 )
全国浅层地下水资源评价及开发利用现状	胡学华 ( 203 )
灌溉供水成本效益计算方法的探讨	苏锦星 ( 220 )
北京市坝河BOD 的自净作用及水质参数估算方法初步探讨	鲁光四 ( 230 )

# 渠道和水库附近双沟截渗排水 电拟试验与计算分析

瞿 兴 业\*

**【摘要】**本文对渠道和水库附近截排水渗流计算问题进行了探讨。通过理论推导,得出双沟排水作用下,自渠、库向两侧渗漏流量的计算公式,和各区间地下水水面线纵坐标的公式。文中应用电拟模型试验资料,验证了理论计算公式的正确性,并对截渗沟的合理布局及其降低地下水位的作用进行了分析,提出了有关截渗排水工程技术方面的一些具体建议。文中还将理论计算公式编成电算程序,通过电子计算机运算,得出46种组合方案的计算成果。

## 一、引 言

为发展工农业生产、交通运输和满足城市生活用水需要而进行的大规模调水,将会改变原来的生态平衡,引起自然环境要素的一系列变化。例如,从我国南方调水到北方地区,途经广大的干旱、半干旱平原,会不会由于长期输水而引起干线两侧的地下水位抬高,使大面积土地发生沼泽化、盐碱化,这是需要研究解决的重大科技问题。以东线调水方案为例,规划输水干线长度达到1100公里,其中水位高出地面的线段,占全线的20%左右。长期高水位输水,将产生大量的渗漏补给。据估算,用于农业灌溉的引水量中,输水损失(主要是渠道渗漏)将占16.7%。大量渗漏损失抬高附近的地下水位,尤其在黄河以北地区,极易造成土地沼泽化、盐碱化,严重危害农业生产。同时,为了适应北方平原地区春旱秋涝和农业用水比较集中的特点,适当采取平原蓄水工程措施,如利用天然地形建立有一定库容的平原水库,对输入水量进行调节,以解决水量在时间和空间上分配不均匀的问题。这样的平原水库,堤线长,侧向渗漏量大,同样也会引起附近地下水位抬高,造成土地沼泽化和盐碱化。如何防止这种影响,消除不利因素,变害为利,是生产当中需要解决的一个关键技术问题。

在渠道和水库附近设置截渗排水沟,保持沟中一定的低水位,能够降低附近地下水位,防止土地沼泽化和盐碱化,这已被一些地区的水利建设实践所证明。但怎样选择合理的布设方案,如何进行控制运用,还需研究截渗排水条件下的地下水运动特点,探讨其规律,才能得出科学的结论。本文就长期输水干渠和平原蓄水工程附近,平行设置两道截渗排水沟,降低地下水位的作用问题,进行理论分析计算,并通过电拟模型试验资料,验证

---

\* 本文的理论分析与计算由瞿兴业完成;电拟试验及资料整理由吴允芳、杨碧如完成;电算程序的编制及运算工作由苏锦星完成。程序调试时曾得到自动化所系统软件组有关同志的帮助。

其理论计算方法的正确性。同时，论证不同情况下截渗排水的效果，探讨合理的截渗沟间距和水位控制深度等，以供工程规划设计中参考。

## 二、理论公式的推导

平原地区的大型输水渠道多为宽浅型，其宽深比值往往超过10以上，平原水库的宽深比值更大。为了简化理论计算，可将渠道和水库视作有限长度的水平等势源线，将截渗沟中心作为汇点，地下水向外侧出流的边界，则可作为铅直的等势汇线。由于渠道和水库水位长期接近稳定，波动幅度小，因此可视为恒定运动状态。其运动图式和边界条件见图1。通常，截渗排水影响区内的地下水水面变幅，与含水层厚度比较，相对很小。因此，可以用简化成矩形的渗流域 $Z=x+iy$ ，来近似代替实际的渗流域，并绘出复速势平面 $\omega=\phi+i\psi$ ，和辅助半平面 $\zeta=\xi+i\eta$ 的图形，如图2(a)、(b)、(c)所示。

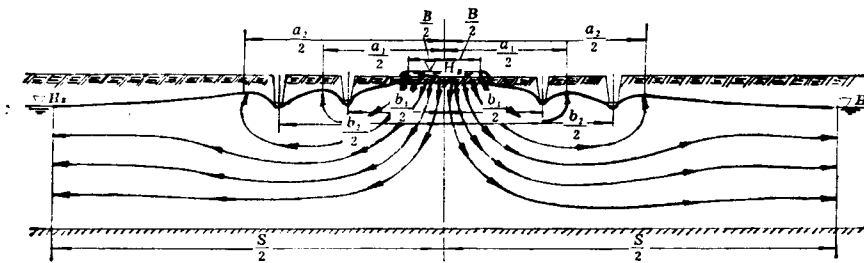


图1 渠道和水库两侧双沟截渗排水运动图式

应用复变函数保角变换法解题如下。

使用许瓦茨-克里斯托菲公式，将 $Z$ 平面映射到 $\zeta$ 平面上

$$Z = A_1 \int_0^\zeta \frac{d\zeta}{\sqrt{\zeta^2 - 1}} + c_1 = A_1 \operatorname{Arsh} \sqrt{\zeta^2 - 1} + c_1 \quad (1)$$

当 $\zeta = 1$ ， $Z = iT = c_1$ ； 当 $\zeta = 0$ ， $Z = 0 = iA_1 \frac{\pi}{2} + iT$ ，由此得

$$A_1 = -\frac{2T}{\pi}, \quad Z = -\frac{2T}{\pi} \operatorname{Arsh} \sqrt{\zeta^2 - 1} + iT \quad (2)$$

式(2)可改写成

$$\zeta^2 = -\operatorname{sh}^2 \frac{\pi Z}{2T} \quad (3)$$

沿矩形渗流域的上边界(即直线化的地下水水面线)有 $Z=x+iT$ 的条件。代入式(3)得

$$\zeta_x^2 = \operatorname{ch}^2 \frac{\pi x}{2T} \quad (4)$$

将不同部位的 $x$ 值(如 $x = \frac{B}{2}, \frac{b_1}{2}, \frac{b_1+d_1}{2}, \frac{a_1}{2}, \dots, \frac{s}{2}$ 等)代入式(4)，

可得出各相应的 $\zeta_x^2$ 表达式，其中，足号 $x$ 分别用 $\frac{B}{2}, \frac{b_1}{2}, \frac{b_1+d_1}{2}, \dots, \frac{s}{2}$ 等代替。

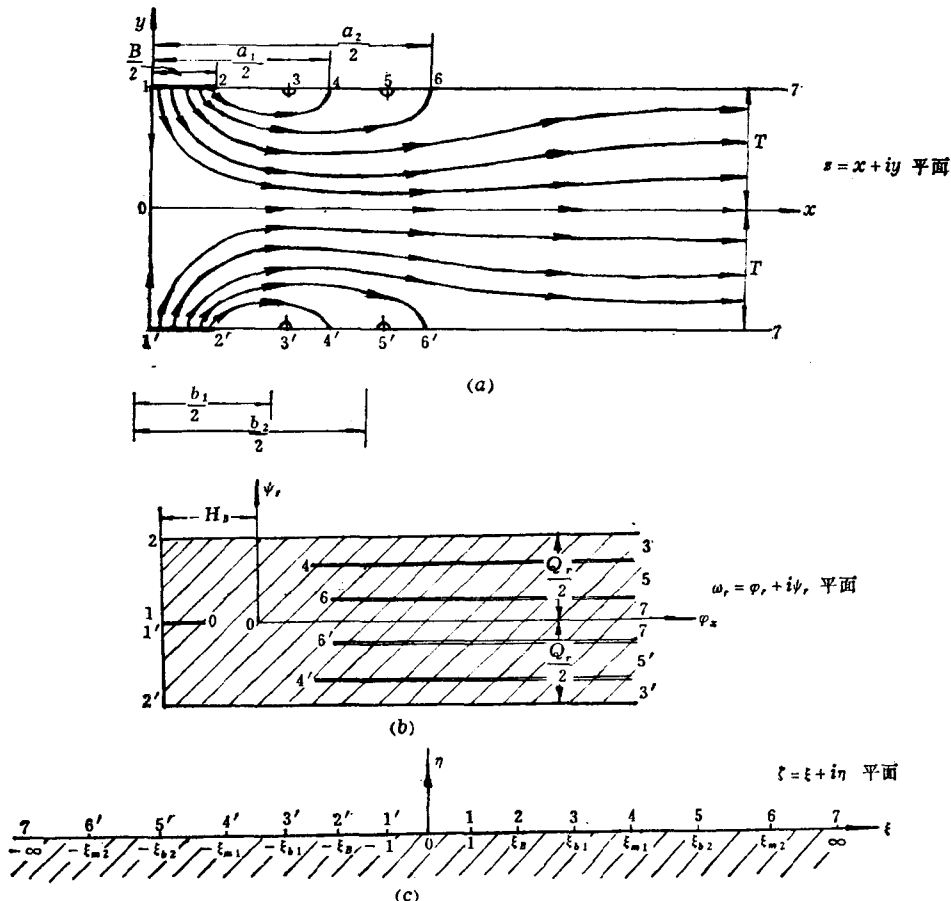


图 2 渗流计算复平面图

再使用许瓦茨-克里斯托菲公式，将  $\omega$  平面映射到  $\zeta$  平面上

$$\omega = A_2 \int_0^{\zeta} \frac{(\zeta^2 - \xi_{m1}^2)(\zeta^2 - \xi_{m2}^2) d\zeta}{(\zeta^2 - \xi_{b1}^2)(\zeta^2 - \xi_{b2}^2) \sqrt{(\zeta^2 - \xi_B^2)(\zeta^2 - 1)}} + c_2, \quad (5)$$

用分项分式法求定积分，并用  $\omega$  域和  $\zeta$  域中有关条件确定常数  $c_2$  和系数  $A_2$ ，然后利用式(3)和式(4)表达的函数关系，及相应于不同  $x$  值的函数表达式，得到

$$\omega = \frac{Q_B}{\pi(1 + A_1 + A_2)} [f(Z) + A_1 F_1(Z) + A_2 F_2(Z)] + c_2, \quad (6)$$

式中  $Q_B$ ——双沟截渗排水条件下，自渠道或水库向两侧渗漏的单长流量；

$c_2$ ——积分常数。在  $\xi_{\frac{B}{2}} \leq \zeta \leq \xi_{\frac{b_1}{2}}$  区间

$$c_2 = -kH_B - i \frac{Q_B}{2} \quad (7)$$

式中  $k$ ——含水层的渗透系数；

$H_B$ ——渠道和水库的水位；

$Q_B$ ——自渠道或水库向两侧渗漏的单长流量。

$$\Delta_1 = \frac{\left[ \left( \operatorname{sh}^2 \frac{\pi a_1}{4T} / \operatorname{sh}^2 \frac{\pi b_1}{4T} \right) - 1 \right] \left[ \left( \operatorname{sh}^2 \frac{\pi a_2}{4T} / \operatorname{sh}^2 \frac{\pi b_1}{4T} \right) - 1 \right]}{\left[ \left( \operatorname{sh}^2 \frac{\pi b_2}{4T} / \operatorname{sh}^2 \frac{\pi b_1}{4T} \right) - 1 \right] \sqrt{1 - \left( \operatorname{sh}^2 \frac{\pi B}{4T} / \operatorname{sh}^2 \frac{\pi b_1}{4T} \right)}} \quad (8)$$

$$\Delta_2 = \frac{\left[ 1 - \left( \operatorname{sh}^2 \frac{\pi a_1}{4T} / \operatorname{sh}^2 \frac{\pi b_2}{4T} \right) \right] \left[ \left( \operatorname{sh}^2 \frac{\pi a_2}{4T} / \operatorname{sh}^2 \frac{\pi b_2}{4T} \right) - 1 \right]}{\left[ 1 - \left( \operatorname{sh}^2 \frac{\pi b_1}{4T} / \operatorname{sh}^2 \frac{\pi b_2}{4T} \right) \right] \sqrt{1 - \left( \operatorname{sh}^2 \frac{\pi B}{4T} / \operatorname{sh}^2 \frac{\pi b_2}{4T} \right)}} \quad (9)$$

式(8)和式(9)中的 $a_1$ 、 $a_2$ 为待定的未知量。

式(6)中的各函数,对于Z域的不同区间,有不同的表达式。在直线边界 $Z=x+iy$ (即地下水水面线)上:

$$\text{当 } \frac{B}{2} \leq x \leq \frac{b_1}{2} \text{ 时, } f(Z) = f(x) = \operatorname{Arch} \left( \operatorname{sh} \frac{\pi x}{2T} / \operatorname{sh} \frac{\pi B}{4T} \right) \quad (10)$$

$$F_1(Z) = F_1(x) = \operatorname{Arch} \sqrt{\frac{\left( \operatorname{sh}^2 \frac{\pi b_1}{4T} / \operatorname{sh}^2 \frac{\pi B}{4T} \right) - 1}{\left( \operatorname{sh}^2 \frac{\pi b_1}{4T} / \operatorname{sh}^2 \frac{\pi x}{2T} \right) - 1}} \quad (11)$$

$$F_2(Z) = F_2(x) = \operatorname{Arch} \sqrt{\frac{\left( \operatorname{sh}^2 \frac{\pi b_2}{4T} / \operatorname{sh}^2 \frac{\pi B}{4T} \right) - 1}{\left( \operatorname{sh}^2 \frac{\pi b_2}{4T} / \operatorname{sh}^2 \frac{\pi x}{2T} \right) - 1}} \quad (12)$$

当 $\frac{b_1}{2} \leq x \leq \frac{b_2}{2}$ 时,  $f(Z) = f(x)$ 同式(10),

$$F_1(Z) = F'_1(x) = \operatorname{Arch} \sqrt{\frac{\left( \operatorname{sh}^2 \frac{\pi x}{2T} / \operatorname{sh}^2 \frac{\pi B}{4T} \right) - 1}{\left( \operatorname{sh}^2 \frac{\pi x}{2T} / \operatorname{sh}^2 \frac{\pi b_1}{4T} \right) - 1}} \quad (13)$$

$F_2(Z) = F'_2(x)$ 同(12),

当 $\frac{b_2}{2} \leq x \leq \frac{s}{2}$ 时,  $f(Z) = f(x)$ 同式(10),  $F_1(Z) = F'_1(x)$ 同式(13),

$$F_2(Z) = F'_2(x) = \operatorname{Arch} \sqrt{\frac{\left( \operatorname{sh}^2 \frac{\pi x}{2T} / \operatorname{sh}^2 \frac{\pi B}{4T} \right) - 1}{\left( \operatorname{sh}^2 \frac{\pi x}{2T} / \operatorname{sh}^2 \frac{\pi b_2}{4T} \right) - 1}} \quad (14)$$

将式(10)~式(14)中的 $x$ , 分别用不同部位各点的横坐标( $\frac{B}{2}$ 、 $\frac{b_1}{2}$ 、 $\frac{b_1 \pm d_1}{2}$ 、

$\frac{a_1}{2}$ ..... $\frac{s}{2}$ 等)替换, 即得相应各点的 $f$ 和 $F_1$ 、 $F_2$ 函数表达式。

$$\text{引入渗流阻抗系数 } \phi(Z) = \frac{f(Z) + \Delta_1 F_1(Z) + \Delta_2 F_2(Z)}{\pi(1 + \Delta_1 + \Delta_2)} \quad (15)$$

$$\text{于是, 式(6)简化为 } \omega = Q_B \cdot \phi(Z) - K H_B - i \frac{Q_B}{2} \quad (16)$$

同样, 不同区间,  $\phi(Z)$ 也具有不同形式的表达式。在地下水面上,

$$\text{当 } \frac{B}{2} \leq x \leq \frac{b_1}{2} \text{ 时, } \phi(Z) = \phi(x) = \frac{f(x) + \Delta_1 F_1(x) + \Delta_2 F_2(x)}{\pi(1 + \Delta_1 + \Delta_2)} \quad (17)$$

$$\text{当 } \frac{b_1}{2} \leq x \leq \frac{b_2}{2} \text{ 时, } \phi(Z) = \phi'(x) = \frac{f(x) + \Delta_1 F'_1(x) + \Delta_2 F'_2(x)}{\pi(1 + \Delta_1 + \Delta_2)} \quad (18)$$

$$\text{当 } \frac{b_2}{2} \leq x \leq \frac{s}{2} \text{ 时, } \phi(Z) = \phi''(x) = \frac{f(x) + \Delta_1 F'_1(x) + \Delta_2 F'_2(x)}{\pi(1 + \Delta_1 + \Delta_2)} \quad (19)$$

同样, 用不同部位各点的横坐标, 替换式 (17) ~ 式 (19) 中的  $x$ , 即得相应各点的  $\phi$  函数表达式。

对式 (16) 作进一步推导, 应用  $Z$  域和  $\omega$  域在  $x = \frac{B}{2}$  和  $\frac{b_1 - d_1}{2}$  两点的边界条件, 得出自渠道或水库向两侧渗漏单长流量的计算公式

$$Q_B = \frac{K(H_B - H_1)}{\phi\left(\frac{b_1 - d_1}{2}\right)} \quad (20)$$

式中  $H_1$  —— 堤外第一道截渗沟中的水位;

$H_B - H_1$  —— 第一区段的作用水头 (用长度单位或%表示);

$\phi\left(\frac{b_1 - d_1}{2}\right)$  —— 渗流阻抗系数, 用式 (17) 和 (8) ~ (12) 计算, 将其中的  $x$  全部换成  $\frac{b_1 - d_1}{2}$ 。

对式 (16) 再作进一步推导, 应用  $Z$  域和  $\omega$  域在地下水面上各部位的边界条件, 得出不同区间沿  $x$  轴地下水位  $H_s$  的计算公式:

$$\text{在 } \frac{B}{2} \leq x \leq \frac{b_1 - d_1}{2} \text{ 区间, } H_s = H_1 + (H_B - H_1) \left[ 1 - \frac{\phi(x)}{\phi\left(\frac{b_1 - d_1}{2}\right)} \right] \quad (21)$$

$$\text{在 } \frac{b_1 + d_1}{2} \leq x \leq \frac{a_1}{2} \text{ 区间, } H_s = H_1 + (H_{m_1} - H_1) \frac{\phi'\left(\frac{b_1 + d_1}{2}\right) - \phi'(x)}{\phi'\left(\frac{b_1 + d_1}{2}\right) - \phi'\left(\frac{a_1}{2}\right)} \quad (22)$$

$$\text{在 } \frac{a_1}{2} \leq x \leq \frac{b_2 - d_2}{2} \text{ 区间, } H_s = H_2 + (H_{m_2} - H_2) \frac{\phi'\left(\frac{b_2 - d_2}{2}\right) - \phi'(x)}{\phi'\left(\frac{b_2 - d_2}{2}\right) - \phi'\left(\frac{a_1}{2}\right)} \quad (23)$$

$$\text{在 } \frac{b_2 + d_2}{2} \leq x \leq \frac{a_2}{2} \text{ 区间, } H_s = H_2 + (H_{m_2} - H_2) \frac{\phi''\left(\frac{b_2 + d_2}{2}\right) - \phi''(x)}{\phi''\left(\frac{b_2 + d_2}{2}\right) - \phi''\left(\frac{a_2}{2}\right)} \quad (24)$$

$$\text{在 } \frac{a_2}{2} \leq x \leq \frac{s}{2} \text{ 区间, } H_s = H_s + (H_{m_2} - H_s) \frac{\phi''\left(\frac{s}{2}\right) - \phi''(x)}{\phi''\left(\frac{s}{2}\right) - \phi''\left(\frac{a_2}{2}\right)} \quad (25)$$

式中  $H_{m_1}$  和  $H_{m_2}$  —— 地下水面线上两个分流点的水位 (峰值);

$H_2$  —— 堤外第二道截渗排水沟中的水位;

$H_s$ ——向外侧出流部位的地下水位;

$H_{m_1} - H_1, H_{m_1} - H_2, H_{m_2} - H_2, H_{m_2} - H_s$ ——自堤线向外算起, 第二、三、四、五区段的作用水头。

$H_{m_1}$ 和 $H_{m_2}$ 用下式计算:

$$H_{m_1} = H_1 + (H_B - H_1) \frac{\phi' \left( \frac{b_1 + d_1}{2} \right) - \phi' \left( \frac{a_1}{2} \right)}{\phi \left( \frac{b_1 - d_1}{2} \right)} \quad (26)$$

$$H_{m_2} = H_2 + (H_B - H_1) \frac{\phi'' \left( \frac{b_2 + d_2}{2} \right) - \phi'' \left( \frac{a_2}{2} \right)}{\phi \left( \frac{b_2 - d_2}{2} \right)} \quad (27)$$

其中 $a_1$ 和 $a_2$ 待定。

解联立方程(8)、(9), 得到计算两个对称分流点距离 $a_1$ 和 $a_2$ 的公式:

$$a_1 = \frac{4T}{\pi} \operatorname{Arch} \sqrt{M - \sqrt{M^2 - N(G_1 + G_2 - 1)}} \quad (28)$$

$$a_2 = \frac{4T}{\pi} \operatorname{Arch} \sqrt{M + \sqrt{M - N(G_1 + G_2 - 1)}} \quad (29)$$

其中

$$M = \frac{1}{2} \left( G_1 \operatorname{ch}^2 \frac{\pi b_1}{4T} + G_2 \operatorname{ch}^2 \frac{\pi b_2}{4T} \right) \quad (30)$$

$$N = \operatorname{ch}^2 \frac{\pi b_1}{4T} \operatorname{ch}^2 \frac{\pi b_2}{4T} \quad (31)$$

$$G_1 = 1 + A_1 \left( \operatorname{th}^2 \frac{\pi b_1}{4T} \right) \sqrt{1 - \left( \operatorname{sh}^2 \frac{\pi B}{4T} \right) / \operatorname{sh}^2 \frac{\pi b_1}{4T}} \quad (32)$$

$$G_2 = 1 + A_2 \left( \operatorname{th}^2 \frac{\pi b_2}{4T} \right) \sqrt{1 - \left( \operatorname{sh}^2 \frac{\pi B}{4T} \right) / \operatorname{sh}^2 \frac{\pi b_2}{4T}} \quad (33)$$

由于式(8)、(9)在等号右端都含有未知量 $a_1$ 和 $a_2$ , 故不能直接用这两式来计算 $A_1$ 和 $A_2$ , 须另行推导算式。按水位差的比值  $\bar{H}_{m_1} = \frac{H_{m_1} - H_2}{H_{m_1} - H_1}$  和  $\bar{H}_{m_2} = \frac{H_{m_2} - H_2}{H_{m_2} - H_s}$ ,

立出 $A_1$ 和 $A_2$ 的联立方程, 然后求解, 得到计算 $A_1$ 和 $A_2$ 的公式如下:

当 $H_1$ 、 $H_2$ 和 $H_s$ 的水位值各不相同时,

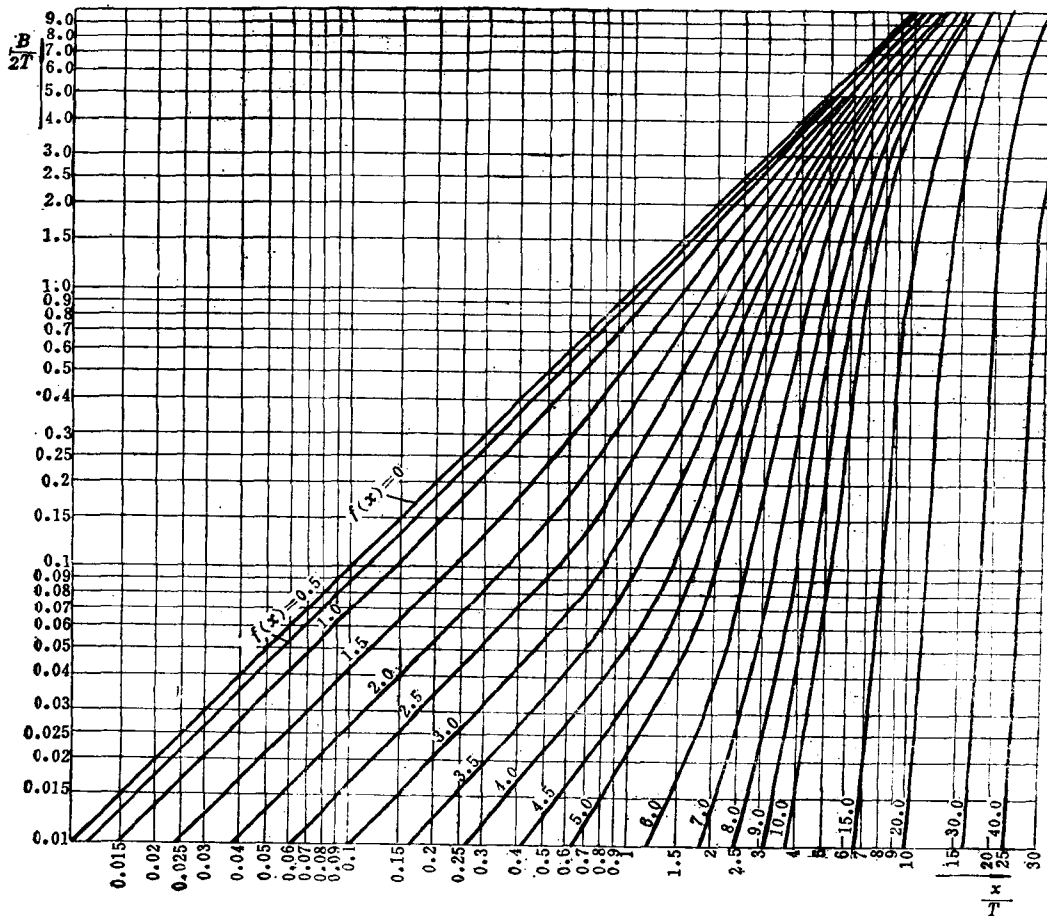
$$\begin{aligned} A_1 = & \left\{ \left\{ (1 - \bar{H}_{m_1}) \left[ F_2 \left( \frac{a_1}{2} \right) - F_2 \left( \frac{b_1 + d_1}{2} \right) \right] - \left[ F_2 \left( \frac{b_2 - d_2}{2} \right) \right. \right. \right. \\ & \left. \left. \left. - F_2 \left( \frac{b_1 + d_1}{2} \right) \right] \right\} \left\{ (1 - \bar{H}_{m_2}) \left[ f \left( \frac{a_2}{2} \right) - f \left( \frac{s}{2} \right) \right] - \left[ f \left( \frac{b_2 + d_2}{2} \right) \right. \right. \\ & \left. \left. - f \left( \frac{s}{2} \right) \right] \right\} - \left\{ (1 - \bar{H}_{m_1}) \left[ f \left( \frac{a_1}{2} \right) - f \left( \frac{b_1 + d_1}{2} \right) \right] - \left[ f \left( \frac{b_2 - d_2}{2} \right) \right. \right. \\ & \left. \left. - f \left( \frac{b_1 + d_1}{2} \right) \right] \right\} \left\{ (1 - \bar{H}_{m_2}) \left[ F'_2 \left( \frac{a_2}{2} \right) - F'_2 \left( \frac{s}{2} \right) \right] \right\} \end{aligned}$$

$$\begin{aligned}
& - \left[ F'_2 \left( \frac{b_2 + d_2}{2} \right) - F'_2 \left( \frac{s}{2} \right) \right] \} \} \div \left\{ \left\{ (1 - \bar{H}_{m_1}) \left[ F'_1 \left( \frac{a_1}{2} \right) \right. \right. \right. \\
& \left. \left. \left. - F'_1 \left( \frac{b_1 + d_1}{2} \right) \right] - \left[ F'_1 \left( \frac{b_2 - d_2}{2} \right) - F'_1 \left( \frac{b_1 + d_1}{2} \right) \right] \right\} \\
& \times \left\{ (1 - \bar{H}_{m_2}) \left[ F'_2 \left( \frac{a_2}{2} \right) - F'_2 \left( \frac{s}{2} \right) \right] - \left[ F'_2 \left( \frac{b_2 + d_2}{2} \right) - F'_2 \left( \frac{s}{2} \right) \right] \right\} \\
& - \left\{ (1 - \bar{H}_{m_1}) \left[ F'_1 \left( \frac{a_1}{2} \right) - F'_1 \left( \frac{b_1 + d_1}{2} \right) \right] - \left[ F'_1 \left( \frac{b_2 - d_2}{2} \right) \right. \right. \\
& \left. \left. - F'_1 \left( \frac{b_1 + d_1}{2} \right) \right] \right\} \left\{ (1 - \bar{H}_{m_2}) \left[ F'_1 \left( \frac{a_2}{2} \right) \right. \right. \\
& \left. \left. - F'_1 \left( \frac{s}{2} \right) \right] - \left[ F'_1 \left( \frac{b_2 + d_2}{2} \right) - F'_1 \left( \frac{s}{2} \right) \right] \right\} \} \quad (34)
\end{aligned}$$

$$\begin{aligned}
A_2 = & \left\{ \left\{ (1 - \bar{H}_m) \left[ f \left( \frac{a_1}{2} \right) - f \left( \frac{b_1 + d_1}{2} \right) \right] - \left[ f \left( \frac{b_2 - d_2}{2} \right) \right. \right. \right. \\
& \left. \left. \left. - f \left( \frac{b_1 + d_1}{2} \right) \right] \right\} \left\{ (1 - \bar{H}_{m_2}) \left[ F'_1 \left( \frac{a_2}{2} \right) - F'_1 \left( \frac{s}{2} \right) \right] \right. \\
& \left. - \left[ F'_1 \left( \frac{b_2 + d_2}{2} \right) - F'_1 \left( \frac{s}{2} \right) \right] \right\} - \left\{ (1 - \bar{H}_{m_1}) \left[ F'_1 \left( \frac{a_1}{2} \right) \right. \right. \\
& \left. \left. - F'_1 \left( \frac{b_1 + d_1}{2} \right) \right] - \left[ F'_1 \left( \frac{b_2 - d_2}{2} \right) - F'_1 \left( \frac{b_1 + d_1}{2} \right) \right] \right\} \\
& \times \left\{ (1 - \bar{H}_{m_2}) \left[ f \left( \frac{a_2}{2} \right) - f \left( \frac{s}{2} \right) \right] - \left[ f \left( \frac{b_2 + d_2}{2} \right) - f \left( \frac{s}{2} \right) \right] \right\} \\
& \div \left\{ \left\{ (1 - \bar{H}_{m_1}) \left[ F'_1 \left( \frac{a_1}{2} \right) - F'_1 \left( \frac{b_1 + d_1}{2} \right) \right] - \left[ F'_1 \left( \frac{b_2 - d_2}{2} \right) \right. \right. \\
& \left. \left. - F'_1 \left( \frac{b_1 + d_1}{2} \right) \right] \right\} \left\{ (1 - \bar{H}_{m_2}) \left[ F'_2 \left( \frac{a_2}{2} \right) - F'_2 \left( \frac{s}{2} \right) \right] \right. \\
& \left. - \left[ F'_2 \left( \frac{b_2 + d_2}{2} \right) - F'_2 \left( \frac{s}{2} \right) \right] \right\} - \left\{ (1 - \bar{H}_{m_1}) \left[ F'_2 \left( \frac{a_1}{2} \right) \right. \right. \\
& \left. \left. - F'_2 \left( \frac{b_1 + d_1}{2} \right) \right] - \left[ F'_2 \left( \frac{b_2 - d_2}{2} \right) - F'_2 \left( \frac{b_1 + d_1}{2} \right) \right] \right\} \\
& \times \left\{ (1 - \bar{H}_{m_2}) \left[ F'_1 \left( \frac{a_2}{2} \right) - F'_1 \left( \frac{s}{2} \right) \right] - \left[ F'_1 \left( \frac{b_2 + d_2}{2} \right) \right. \right. \\
& \left. \left. - F'_1 \left( \frac{s}{2} \right) \right] \right\} \quad (35)
\end{aligned}$$

式(34)、(35)的结构形式及其使用，十分冗长繁琐，必须与式(26)~(33)，以及前面有关公式联立计算，求解 $a_1$ 、 $a_2$ 、 $H_{m_1}$ 和 $H_{m_2}$ ，而且需要逐次逼近，在实际当中应用困难。通常，对于一般情况，可将截渗沟中的水位 $H_1$ 、 $H_2$ ，控制到接近原始地下水位 $H_s$ 。此时，有 $\bar{H}_{m_1} \approx \bar{H}_{m_2} \approx 1$ 的条件。于是，式(34)、(35)得到简化：

$$\begin{aligned}
 A_1 &= \left\{ \left[ F_2 \left( \frac{b_2 - d_2}{2} \right) - F_2 \left( \frac{b_1 + d_1}{2} \right) \right] \left[ f \left( \frac{b_2 + d_2}{2} \right) - f \left( \frac{s}{2} \right) \right] \right. \\
 &\quad - \left[ f \left( \frac{b_2 - d_2}{2} \right) - f \left( \frac{b_1 + d_1}{2} \right) \right] \left[ F'_2 \left( \frac{b_2 + d_2}{2} \right) \right. \\
 &\quad \left. \left. - F'_2 \left( \frac{s}{2} \right) \right] \right\} \div \left\{ \left[ F'_1 \left( \frac{b_2 - d_2}{2} \right) - F'_1 \left( \frac{b_1 + d_1}{2} \right) \right] \right. \\
 &\quad \times \left[ F'_2 \left( \frac{b_2 + d_2}{2} \right) - F'_2 \left( \frac{s}{2} \right) \right] - \left[ F_2 \left( \frac{b_2 - d_2}{2} \right) - F_2 \left( \frac{b_1 + d_1}{2} \right) \right] \\
 &\quad \times \left. \left[ F'_1 \left( \frac{b_2 + d_2}{2} \right) - F'_1 \left( \frac{s}{2} \right) \right] \right\} \quad (36) \\
 A_2 &= \left\{ \left[ f \left( \frac{b_2 - d_2}{2} \right) - f \left( \frac{b_1 + d_1}{2} \right) \right] \left[ F'_1 \left( \frac{b_2 + d_2}{2} \right) - F'_1 \left( \frac{s}{2} \right) \right] \right. \\
 &\quad - \left[ F'_1 \left( \frac{b_2 - d_2}{2} \right) - F'_1 \left( \frac{b_1 + d_1}{2} \right) \right] \left[ f \left( \frac{b_2 + d_2}{2} \right) \right. \\
 &\quad \left. - f \left( \frac{s}{2} \right) \right] \right\} \div \left\{ \left[ F'_1 \left( \frac{b_2 - d_2}{2} \right) - F'_1 \left( \frac{b_1 + d_1}{2} \right) \right] \right.
 \end{aligned}$$

图 3 函数  $f(x)$  计算曲线图

$$\begin{aligned} & \times \left[ F'_2 \left( \frac{b_2 + d_2}{2} \right) - F'_2 \left( \frac{s}{2} \right) \right] - \left[ F_2 \left( \frac{b_2 - d_2}{2} \right) \right. \\ & \left. - F_2 \left( \frac{b_1 + d_1}{2} \right) \right] \left[ F'_1 \left( \frac{b_2 + d_2}{2} \right) - F'_1 \left( \frac{s}{2} \right) \right] \} \end{aligned} \quad (37)$$

式(36)、(37)的结构形式及其使用，比较式(34)、(35)简便得多。与前面有关公式联立计算，可直接求出 $\Delta_1$ 、 $\Delta_2$ ，无须逐次逼近。

当计算出常量 $\Delta_1$ 和 $\Delta_2$ 之后，需要用式(28)~(33)算出 $a_1$ 、 $a_2$ ，然后用式(8)、(9)进行校核，前后两次得到的 $\Delta_1$ 、 $\Delta_2$ ，相对误差不应超过5%。

为了简化运算过程，方便应用，我们将函数 $f(x)$ 、 $F(x)$ 和 $F'(x)$ ，按变量 $\frac{x}{T}$ 、 $\frac{B}{T}$ 、 $\frac{b}{T}$ 等，绘制出计算曲线图（见图3、4）。其中 $F(x)$ 和 $F'(x)$ ，当 $b=b_1$ 时，即为 $F_1(x)$

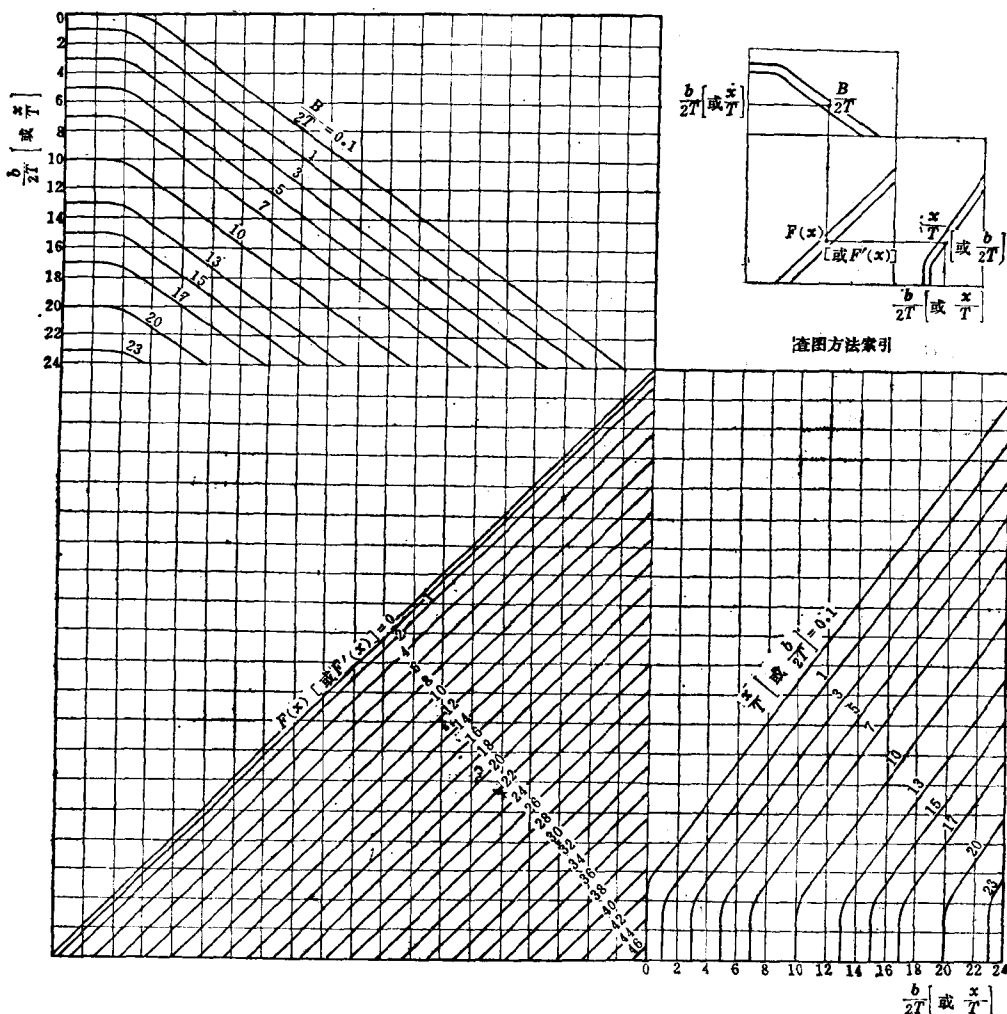


图4 函数 $F(x)$ 或 $F'(x)$ 计算曲线图

和 $F'_1(x)$ 函数；当 $b=b_2$ 时，即为 $F_2(x)$ 和 $F'_2(x)$ 函数。

将 $b_2=a_2=s$ 的条件代入式(9)，得 $\Delta_2=0$ ，于是，上述算式适用于单沟截渗排水情况；再将 $b_1=a_1=s$ 的条件代入式(8)，又得 $\Delta_1=0$ ，于是，上述算式适用于无截渗沟情况。

## 三、计算举例

按大型输水渠道两侧双沟截渗排水运动图式，假设已知条件为： $T=200$ 米， $s=2100$ 米， $B=100$ 米， $b_1=300$ 米， $b_2=500$ 米， $d_1=d_2=4$ 米， $H_B=100\%$ ， $H_1=H_2=H_s=0$ ， $k=1.0$ 米/天。求渠道的渗漏流量和地下水位线的坐标。计算步骤如下。

### (一) 计算函数值

将各已知量 $\frac{B}{2}=50$ 米， $\frac{b_1}{2}=150$ 米， $\frac{b_2}{2}=250$ 米和 $x=\frac{b_1+d_1}{2}=152$ 米， $x=\frac{b_2-d_2}{2}=248$ 米， $x=\frac{b_2+d_2}{2}=252$ 米， $x=\frac{s}{2}=1050$ 米等，分别按适应的区间范围，代入式(10)~(14)中，计算出相应的函数值： $f\left(\frac{b_1+d_1}{2}\right)=1.988$ ， $F'_1\left(\frac{b_1+d_1}{2}\right)=3.551$ ， $F_2\left(\frac{b_1+d_1}{2}\right)=2.085$ ， $f\left(\frac{b_2-d_2}{2}\right)=2.834$ ， $F'_1\left(\frac{b_2-d_2}{2}\right)=2.064$ ， $F_2\left(\frac{b_2-d_2}{2}\right)=4.580$ ， $f\left(\frac{b_2+d_2}{2}\right)=2.867$ ， $F'_1\left(\frac{b_2+d_2}{2}\right)=2.057$ ， $F'_2\left(\frac{b_2+d_2}{2}\right)=4.537$ ， $f\left(\frac{s}{2}\right)=9.106$ ， $F'_1\left(\frac{s}{2}\right)=1.966$ ， $F'_2\left(\frac{s}{2}\right)=2.848$ 。

### (二) 计算常量并校核

将以上函数值代入式(36)、(37)，计算出 $H_1=H_2=H_s$ 时的常量： $\Delta_1=6.200$ ， $\Delta_2=3.300$ 。将 $\Delta_1$ 、 $\Delta_2$ 的第一次计算值和其它有关已知量代入式(28)~(33)，计算出分流点距离： $G_1=5.070$ ， $G_2=4.025$ ， $M=34.6$ ， $N=41.2$ ， $a_1=376$ 米， $a_2=706$ 米。

然后，将 $\frac{a_1}{2}=188$ 米， $\frac{a_2}{2}=353$ 米，以及其它有关已知量代入式(8)、(9)，第二次求出常量： $\Delta_1=6.270$ ， $\Delta_2=3.300$ 。两次计算结果的数值很接近，相对误差都不超过5%，表明运算无误。在往后的计算中，即采用 $\Delta_1=6.300$ 和 $\Delta_2=3.200$ 。

### (三) 计算渗流量

将 $x=\frac{b_1-d_1}{2}=148$ 米和其它有关已知量代入式(10)~(12)计算出函数值：

$f\left(\frac{b_1-d_1}{2}\right)=1.950$ ， $F_1\left(\frac{b_1-d_1}{2}\right)=3.584$ ， $F_2\left(\frac{b_1-d_1}{2}\right)=2.038$ 。然后，连同 $\Delta_1$ 、 $\Delta_2$ 代入式(17)，计算出渗流阻抗系数： $\phi\left(\frac{b_1-d_1}{2}\right)=0.936$ ，再用式(20)，计算出截渗排水条件下渠道(向两侧)的单长渗漏流量： $Q_B=1.070$ 米<sup>2</sup>/天。

#### (四) 计算分流点水位

将  $\frac{a_1}{2}$  和  $\frac{a_2}{2}$  数值，分别按适应的区间范围，代入式(10)~(14)，计算出相应函数值： $f\left(\frac{a_1}{2}\right)=2.320$ ,  $F'_1\left(\frac{a_1}{2}\right)=2.310$ ,  $F'_2\left(\frac{a_1}{2}\right)=2.530$ ,  $f\left(\frac{a_2}{2}\right)=3.680$ ,  $F'_1\left(\frac{a_2}{2}\right)=1.980$ ,  $F'_2\left(\frac{a_2}{2}\right)=2.050$ 。然后，将函数值分别代入式(18)和(19)，计算出相应的渗流阻抗系数： $\phi'\left(\frac{a_1}{2}\right)=0.760$ ,  $\phi'\left(\frac{b_1+d_1}{2}\right)=0.936$ ,  $\phi''\left(\frac{a_2}{2}\right)=0.778$ ,  $\phi''\left(\frac{b_2+d_2}{2}\right)=0.927$ 。再将阻抗系数值代入式(26)、(27)，计算出分流点的水位： $H_{m_1}=18.8\%$ ,  $H_{m_2}=15.9\%$ 。

#### (五) 计算地下水水面坐标

将包含有  $x=\frac{b_1-d_1}{2}$  和  $\frac{s}{2}$  的函数值代入式(18)、(19)，计算出相应的渗流阻抗

表 1

$x$ (米)	$\frac{B}{2}=50$	55	60	70	100	130	140	145	$\frac{b_1-d_1}{2}=148$
$f(x)$	0	0.459	0.648	0.900	1.405	1.762	1.868	1.918	1.950
$F_1(x)$	0	0.477	0.676	0.961	1.584	2.296	2.731	3.108	3.584
$F_2(x)$	0	0.454	0.643	0.909	1.428	1.816	1.941	2.000	2.038
$H_x(\%)$ 计算	100	84.00	77.40	68.00	48.30	28.60	18.30	9.80	0
$H_x(\%)$ 电拟	100	84.00	75.00	65.00	48.00	30.00	20.00	10.00	0

$x$ (米)	$\frac{b_1+d_1}{2}=152$	155	160	170	$\frac{a_1}{2}=188$	200	230	240	$\frac{b_2-d_2}{2}=248$
$f(x)$	4.085	4.215	4.470	5.040	6.355	7.540	13.690	20.350	47.200
$F'_1(x)$	0.042	0.098	0.204	0.463	0.994	1.455	3.055	3.790	4.465
$F'_2(x)$	4.420	4.150	3.690	2.910	1.830	1.300	0.393	0.178	0.033
$H_x(\%)$ 计算	0	7.4	13.00	17.7	18.8	18.5	13.6	9.6	0
$H_x(\%)$ 电拟	0	10.0	13.00	17.0	18.9	18.6	13.5	9.0	0

$x$ (米)	$\frac{b_2+d_2}{2}=252$	260	270	300	$\frac{a_2}{2}=353$	400	500	700	$\frac{s}{2}=1050$
$f(x)$	2.867	2.937	3.013	3.254	3.680	4.053	4.835	6.410	9.106
$F'_1(x)$	2.075	2.044	2.032	2.005	1.980	1.974	1.967	1.966	1.966
$F'_2(x)$	4.537	3.791	3.486	3.147	2.950	2.894	2.858	2.848	2.848
$H_x(\%)$ 计算	0	7.9	11.20	14.60	15.90	15.50	13.40	8.60	0
$H_x(\%)$ 电拟	0	8.5	12.50	17.00	17.30	17.00	14.00	8.50	0

$$\text{系数: } \phi'\left(\frac{b_2-d_2}{2}\right)=0.932, \quad \phi''\left(\frac{s}{2}\right)=0.930.$$

选取不同的水平距离  $x$  值, 代入式(10)~(14), 计算出相应的  $f(x)$ 、 $F_1(x)$ 、 $F_2(x)$ 、 $F'_1(x)$  和  $F'_2(x)$  等函数值, 然后连同各已知量, 代入式(17)~(19), 计算出相应的  $\phi(x)$ 、 $\phi'(x)$  和  $\phi''(x)$ , 再分别按适应的范围, 代入式(21)~(25), 计算出不同区间地下水水面线的纵坐标值  $H_x$ , 列入表 1。采取  $d_1=d_2=0$  条件, 使用有关公式, 计算出无沟情况的地下水水面线纵坐标  $H_x$  值, 列入表 2。

表 2

$x$ (米)	$\frac{B}{2}=50$	70	100	150	200	300	500	700	1050
$f(x)$	0	1.000	1.360	1.950	2.560	3.370	4.920	6.380	9.200
$H_x(\%)$ 计算	100	89.8	84.2	77.5	72.4	63.0	46.5	29.7	0
$H_x(\%)$ 电报	100	88.6	83.0	76.4	70.8	61.6	45.2	29.0	0

#### 四、电 拟 试 验

为了探讨截渗排水措施对渠道和水库附近地下水位的控制作用, 并用试验资料验证理论计算的正确性。我们按各项影响因素, 安排了 50 个试验组合方案, 进行单因子对比试验。要求通过电拟试验, 得出渗漏流量和地下水位坐标等数据, 为合理布设截渗排水工程, 以及评价其效益, 提供论证和依据。试验对比的因子有  $T$ 、 $s$ 、 $B$ 、 $d_1$ 、 $d_2$ 、 $H_1$ 、 $H_2$  和  $b_1$ 、 $b_2$ , 按不同的单项变化数值进行组合。其中双沟截渗排水试验方案 36 个; 无截渗沟方案 14 个; 属于渠道截渗排水的 44 个, 属于水库截渗排水的 6 个。试验中各项已知数据及其组合方案见表 3、5。

试验模型使用导电纸制作, 用电拟渗流仪测试。按测得的等势线增添流线, 绘成流网图(见图 5、6)。根据流网图推算出单长渗流量, 其中包括自渠道、水库渗漏的总流量和汇入截渗沟以及绕沟走的分流量, 列入表 4、5。再根据渗流域上边界电位势的分布, 求出地下水位线的纵坐标值(用%表示, 试验结果数值表从略), 并将合流点的水平距与水位值列入表 4、5。表中的渗流量均用化引流量表示, 即  $Q_r=Q/K$ 。

电拟模型试验结果表明:

(1) 在渠道和水库附近设置两道截渗排水沟, 控制沟中低水位, 能够起到降低附近地下水位的作用, 与无沟条件比较, 靠近截渗沟两侧, 其降低水位的效果尤为明显。

(2) 地下水位的降低程度虽受各项影响因子的支配, 但各项对比因子中, 以含水层厚度影响最大, 含水层愈薄, 降低愈多; 其次, 截渗沟设置部位的远近, 和沟中水位控制的高低, 都与地下水位降低程度关系密切。截渗沟距渠道或水库愈近, 沟外侧(附近的)地下水位愈高; 沟中水位愈高, 都在很大程度上削弱降低地下水位的效果; 渠道和水库的水面宽度和截渗沟的水下断面大小, 对降低地下水位的程度有一定影响, 但并不强烈; 原

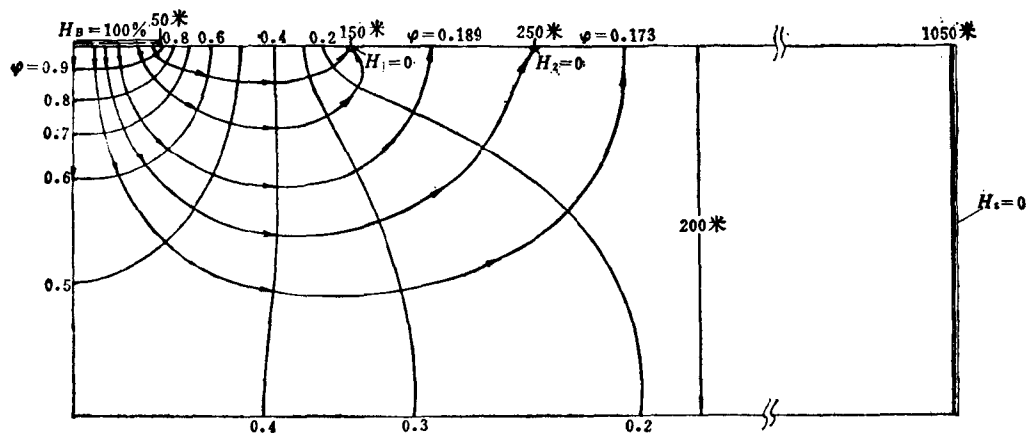


图 5 渠道附近双沟截渗排水流网图(电拟试验结果)

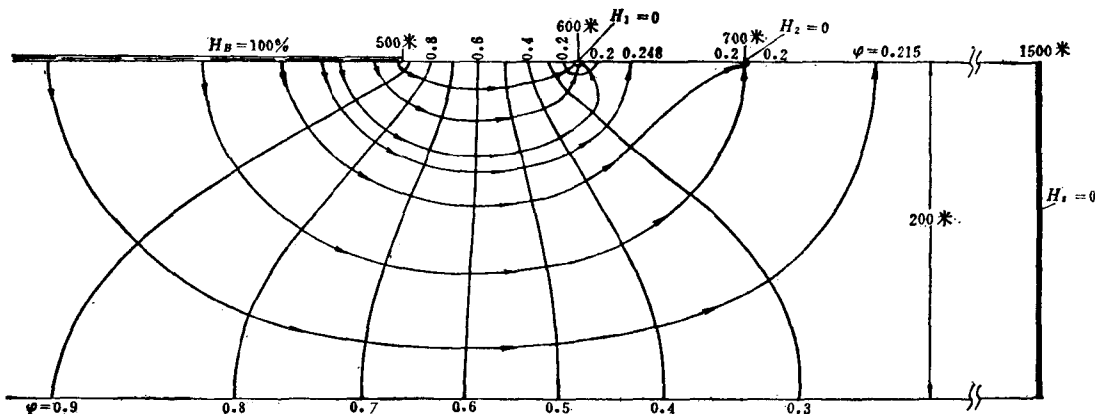


图 6 水库附近双沟截渗排水流网图(电拟试验结果)

始地下水位出现部位的远近，对截渗沟降低地下水位的作用，影响甚小，特别是两沟之间分水点的水位，始终保持固定的数值，基本上不发生变化。

(3) 自渠道或水库渗漏流量的大小，也受各项影响因素的支配。其影响程度仍然是含水层厚度最大；截渗沟布设位置和沟中水位较明显；渠道和水库的水面宽度以及沟中水下断面大小也有一定影响；而原始水位出现部位的远近，则对渗漏流量的大小不产生什么影响。设置截渗沟与无沟对比，渗漏流量都有不同程度的增加。一般情况下增长率为100%~300%，特殊情况下，如含水层很薄，截渗沟距渠道、水库很近，或沟中水位控制很低等，增长率可达到700~800%。

表 3

试验组合 编 号	对 比 因 子 (米)	试 验 组 合 中 各 已 知 量					
		T(米)	$\frac{s}{2}$ (米)	$\frac{B}{2}$ (米)	$d_1$ (米)	$d_2$ (米)	$\frac{b_1}{2}$ (米)
$A_1$	$T = 500$	500	1050	50	4	4	150
* $A_2$	$T = 200$	200	1050	50	4	4	150
$A_3$	$T = 100$	100	1050	50	4	4	150
$A_4$	$T = 50$	50	1050	50	4	4	150
$A_5$	$T = 20$	20	1050	50	4	4	150
$A_6$	$\frac{s}{2} = 2050$	200	2050	50	4	4	150
$A_7$	$\frac{s}{2} = 1550$	200	1550	50	4	4	150
$A_8$	$\frac{s}{2} = 750$	200	750	50	4	4	150
$A_9$	$\frac{s}{2} = 550$	200	550	50	4	4	150
** $A_{10}$	$\frac{B}{2} = 500$	200	1500	500	4	4	150
$A_{11}$	$\frac{B}{2} = 200$	200	1200	200	4	4	150
$A_{12}$	$\frac{B}{2} = 100$	200	1100	100	4	4	150
$A_{13}$	$\frac{B}{2} = 20$	200	1020	20	4	4	150
$A_{14}$	$\frac{B}{2} = 10$	200	1010	10	4	4	150
$A_{15}$	$d_1 = d_2 = 2$	200	1050	50	2	2	150
$A_{16}$	$d_1 = 2, d_2 = 4$	200	1050	50	2	4	150
$A_{17}$	$d_1 = 4, d_2 = 2$	200	1050	50	4	2	150
$A_{18}$	$d_1 = d_2 = 10$	200	1050	50	10	10	150
$A_{19}$	$H_1 = H_2 = -33.3\%$	200	1050	50	4	4	150
$A_{20}$	$H_1 = 25\%, H_2 = 0$	200	1050	50	4	4	150
$A_{21}$	$H_1 = 0, H_2 = 25\%$	200	1050	50	4	4	150
$A_{22}$	$H_1 = H_2 = 25\%$	200	1050	50	4	4	150
$A_{23}$	$H_1 = 50\%, H_2 = 25\%$	200	1050	50	4	4	150
$A_{24}$	$\frac{b_1}{2} = 100, \frac{b_2}{2} = 150$	200	1050	50	4	4	100
$A_{25}$	$\frac{b_1}{2} = 100, \frac{b_2}{2} = 250$	200	1050	50	4	4	100
$A_{26}$	$\frac{b_1}{2} = 150, \frac{b_2}{2} = 200$	200	1050	50	4	4	150